

Segunda Lista de Exercícios de Mecânica Estatística

Fabio de Moraes Canedo
7994642

23 de setembro de 2018

1 P1

No primeiro problema, para estudarmos as propriedades de equilíbrio do sistema considerado, calculamos primeiro a função equipartição, para isso utilizaremos a Hamiltoniana do problema, definida por:

$$H = -J \sum_{i=1}^n S_i^z S_{i+1}^z - D \sum_{i=1}^n (S_i^z)^2 \quad (1)$$

Os potenciais dependem na prática de apenas dois parâmetros também, pois podemos sempre redefinir a Hamiltoniana como:

$$\frac{H}{J} = - \sum_{i=1}^n S_i^z S_{i+1}^z - \frac{D}{J} \sum_{i=1}^n (S_i^z)^2 \quad (2)$$

Nas equações subsequentes podemos fazer a substituição $JT \rightarrow T$ redefinindo a temperatura, e então podemos obter o comportamento dependendo apenas dessas duas variáveis. Da Hamiltoniana, podemos tirar todas as propriedades termodinâmicas do sistema, como por exemplo:

$$\begin{aligned}
U &= -\frac{\partial \log Z}{\partial \beta} \\
F &= -\beta \log Z \\
S &= \frac{U - F}{\beta} \\
C &= -\frac{1}{\beta^2} \frac{\partial U}{\partial \beta} \\
Q &= n + \frac{\frac{d}{dD} \log(Z(D))}{\beta}
\end{aligned} \tag{3}$$

Para calcular tais potenciais termodinâmicos, é necessário calcular a função equipartição, definida por:

$$Z = \text{Tr}\{e^{-\beta \hat{H}}\} \tag{4}$$

O cálculo pode ser realizado tomando a base formada por cada estado de spin da cadeia, nessa base a Hamiltoniana é diagonal, assim teremos:

$$Z = \prod_{i=1}^n \sum_{S_i^z} \exp \{ \beta [JS_i^z S_{i+1}^z + D(S_i^z)^2] \} \tag{5}$$

Considerando que $S_1^z = S_{n+1}^z$, podemos escrever o Hamiltoniano de uma maneira mais simétrica:

$$H = -J \sum_{i=1}^n S_i^z S_{i+1}^z - \frac{D}{2} \sum_{i=1}^n [(S_i^z)^2 + (S_{i+1}^z)^2] \tag{6}$$

Dessa maneira, se tomarmos a seguinte matriz:

$$T_{S_i, S_{i+1}} = \begin{bmatrix} e^{\beta(D+J)} & e^{\frac{D\beta}{2}} & e^{\beta(D-J)} \\ e^{\frac{D\beta}{2}} & 1 & e^{\frac{D\beta}{2}} \\ e^{\beta(D-J)} & e^{\frac{D\beta}{2}} & e^{\beta(D+J)} \end{bmatrix} \tag{7}$$

Essa matriz pode ser entendida como a linha representando valores diferentes para S_i e a coluna representando valores diferentes para S_{i+1} , Com essa definição, a função equipartição fica:

$$Z = \text{Tr} [T^n] \tag{8}$$

Agora, antes disso, é conveniente acrescentarmos à energia $n(J + D)$, isso garante que os autovalores da hamiltoniana fiquem positivos. Isso serve

apenas de conveniência para estudar o comportamento do sistema nos casos assintóticos. Isso feito, a matriz de transferência toma a forma:

$$T_{S_i, S_{i+1}} = \begin{bmatrix} 1 & e^{\frac{\beta(-D-2J)}{2}} & e^{-2J\beta} \\ e^{\frac{\beta(-D-2J)}{2}} & e^{-\beta(D+J)} & e^{\frac{\beta(-D-2J)}{2}} \\ e^{-2J\beta} & e^{\frac{\beta(-D-2J)}{2}} & 1 \end{bmatrix} \quad (9)$$

Como é uma matriz simétrica real de três dimensões, ela possui também 3 autovalores reais, de maneira que é possível escrever:

$$T = PDP^{-1} \quad (10)$$

Assim:

$$Z = \text{Tr}[T^n] = \text{Tr}[D^n] \quad (11)$$

Onde D é uma matriz diagonal com autovalores de T nas entradas. A função equipartição fica, portanto:

$$Z = \lambda_1^n + \lambda_2^n + \lambda_3^n \quad (12)$$

Os autovalores para essa matriz serão:

$$\lambda_1 = \frac{\left(\sqrt{\Delta} + e^{D\beta}e^{3J\beta} + e^{D\beta}e^{J\beta} + e^{2J\beta}\right)e^{-D\beta}e^{-3J\beta}}{2} \quad (13a)$$

$$\lambda_2 = \frac{\left(-\sqrt{\Delta} + e^{D\beta}e^{3J\beta} + e^{D\beta}e^{J\beta} + e^{2J\beta}\right)e^{-D\beta}e^{-3J\beta}}{2} \quad (13b)$$

$$\lambda_3 = 1 - e^{-2J\beta} \quad (13c)$$

Onde:

$$\Delta = e^{2D\beta}e^{6J\beta} + 2e^{2D\beta}e^{4J\beta} + e^{2D\beta}e^{2J\beta} - 2e^{D\beta}e^{5J\beta} + 8e^{D\beta}e^{4J\beta} - 2e^{D\beta}e^{3J\beta} + e^{4J\beta} \quad (14)$$

Agora é importante salientar que um dos autovalores é sempre maior que os outros dois, de maneira que, quando $n \rightarrow \infty$ teremos:

$$Z \simeq \lambda_1^n \quad (15)$$

De maneira que os potenciais termodinâmicos calculados a partir de Z , que sempre dependem de $\log Z$, dependerão nesse limite de $n \log \lambda_1$. Portanto, vale a pena voltar nossa atenção um momento para a equação (13a).

Podemos estudar o limite dessa equação quando $\beta \rightarrow \infty$. Para isso, primeiro notamos que, nesse limite, $\Delta \rightarrow e^{2D\beta} e^{6J\beta}$. Podemos chegar a essa conclusão contando a potência dos termos. Substituindo esse limite de Δ na equação (13a), obtemos:

$$\lambda_1 \simeq 1 + \frac{e^{-2J\beta}}{2} + \frac{e^{-D\beta} e^{-J\beta}}{2} \quad (16)$$

A função equipartição nesse caso fica:

$$Z = \left(1 + \frac{e^{-2J\beta}}{2} + \frac{e^{-D\beta} e^{-J\beta}}{2} \right)^n \quad (17)$$

Substituindo β por T , obtemos:

$$Z = \left(1 + \frac{e^{-\frac{2J}{T}}}{2} + \frac{e^{-\frac{D}{T}} e^{-\frac{J}{T}}}{2} \right)^n \quad (18)$$

Quando expandimos o logaritmo dessa função para $\beta \rightarrow \infty$, o que obtemos é que a função tende a zero exponencialmente. Podemos calcular os limites para cada potencial:

$$U = n \frac{D + 2e^{\beta(D-1)} + 1}{e^{\beta(D-1)} + 2e^{\beta(D+1)} + 1} \quad (19a)$$

$$F = - \frac{n \left(D\beta + 2J\beta + \log \left(\frac{2}{e^{D\beta} + e^{J\beta} + 2e^{\beta(D+2J)}} \right) \right)}{\beta} \quad (19b)$$

$$Q = \frac{2ne^{D\beta} e^{2J\beta}}{2e^{D\beta} e^{2J\beta} + e^{D\beta} + e^{J\beta}} + \frac{ne^{D\beta}}{2e^{D\beta} e^{2J\beta} + e^{D\beta} + e^{J\beta}} \quad (19c)$$

$$S = \beta \left(\frac{n \log(Z)}{\beta} - \frac{n \left(-\frac{De^{-D\beta} e^{-J\beta}}{2} - Je^{-2J\beta} - \frac{Je^{-D\beta} e^{-J\beta}}{2} \right)}{Z} \right) \quad (19d)$$

$$C = \frac{\beta^2 n (2D^2 e^{2J\beta} + D^2 + 4DJe^{2J\beta} - 2DJ + 8J^2 e^{D\beta} e^{J\beta} + 2J^2 e^{2J\beta} + J^2) e^{D\beta} e^{J\beta}}{(2e^{D\beta} e^{2J\beta} + e^{D\beta} + e^{J\beta})^2} \quad (19e)$$

Tomando os limites para $\beta \rightarrow \infty$ em cada equação acima obtemos:

$$U = \begin{cases} 0 & \text{para } D + 1 > 0 \\ n(D + 1) & \text{caso contrário} \end{cases} \quad (20a)$$

$$F = \begin{cases} 0 & \text{para } D + 1 > 0 \\ n(D + 1) & \text{caso contrário} \end{cases} \quad (20b)$$

$$Q = \begin{cases} n & \text{para } D + 1 > 0 \\ 0 & \text{caso contrário} \end{cases} \quad (20c)$$

$$S = \begin{cases} 0 & \text{para } D + 1 > 0 \\ -n \log(2) & \text{caso contrário} \end{cases} \quad (20d)$$

$$C = 0 \quad (20e)$$

Agora para o limite da temperatura indo para infinito, teremos, voltando à equação (13a), que tomar o limite $\beta \rightarrow 0$:

$$\lambda_1 \simeq 3 + \beta(-D - 3J) + \beta^2 \left(\frac{D^2}{2} + DJ + \frac{13J^2}{6} \right) + O(\beta^3) \quad (21)$$

Desprezando termos de ordem 3 podemos continuar a trabalhar com a expressão, a função equipartição ficará:

$$Z = \left(\beta^2 \left(\frac{D^2}{2} + DJ + \frac{13J^2}{6} \right) + \beta(-D - 3J) + 3 \right)^n \quad (22)$$

O que leva aos potenciais termodinâmicos:

$$U = \frac{2n(3D + 9J - \beta(3D^2 + 6DJ + 13J^2))}{\beta^2(3D^2 + 6DJ + 13J^2) - 6\beta(D + 3J) + 18} \quad (23a)$$

$$F = - \frac{n \log \left(\frac{\beta^2(3D^2 + 6DJ + 13J^2)}{6} - \beta(D + 3J) + 3 \right)}{\beta} \quad (23b)$$

$$S = \frac{n \left(2\beta(3D + 9J - \alpha\beta) + (\alpha\beta^2 - 6\beta(D + 3J) + 18) \log \left(\frac{\alpha\beta^2}{6} - \beta(D + 3J) + 3 \right) \right)}{\alpha\beta^2 - 6\beta(D + 3J) + 18} \quad (23c)$$

$$C = \frac{2\beta^2 n (\alpha(\alpha\beta^2 - 6\beta(D + 3J) + 18) - 2(3D + 9J - \alpha\beta)^2)}{(\alpha\beta^2 - 6\beta(D + 3J) + 18)^2} \quad (23d)$$

$$Q = \frac{n(3D^2\beta^2 + 6DJ\beta^2 + 13J^2\beta^2 - 12J\beta + 12)}{3D^2\beta^2 + 6DJ\beta^2 - 6D\beta + 13J^2\beta^2 - 18J\beta + 18} \quad (23e)$$

Onde:

$$\alpha = 3D^2 + 6DJ + 13J^2 \quad (24)$$

Podemos, dessa maneira, compreender o comportamento do sistema para o caso em que a temperatura fica extremamente alta, em particular, tomando o limite $\beta \rightarrow 0$ nas equações (2.0.2), obtemos:

$$U = \frac{Dn}{3} + Jn \quad (25a)$$

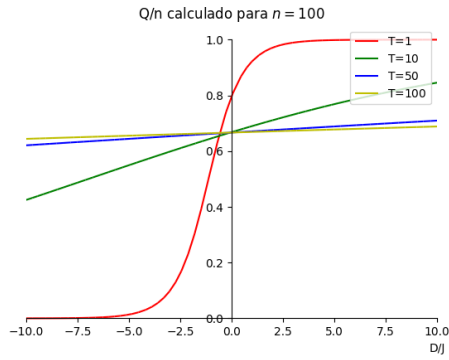
$$F = -\infty \quad (25b)$$

$$S = n \log(3) \quad (25c)$$

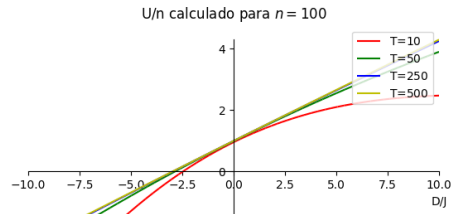
$$C = 0 \quad (25d)$$

$$Q = \frac{2n}{3} \quad (25e)$$

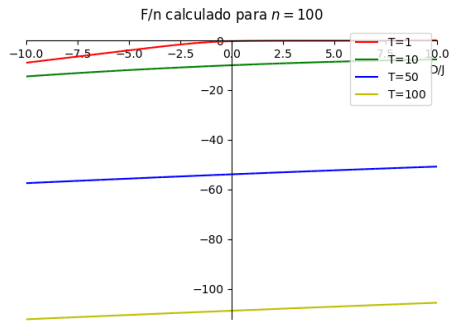
Na Figura 1.0.1 os comportamentos dos potenciais para o caso em que a temperatura vai para o infinito, estes foram calculados numericamente sem o auxílio das aproximações analíticas, podemos observar o comportamento descrito pelas equações (20).



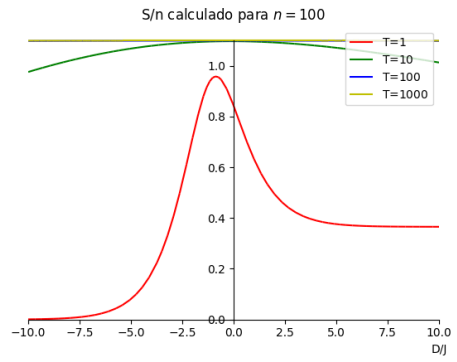
(a)



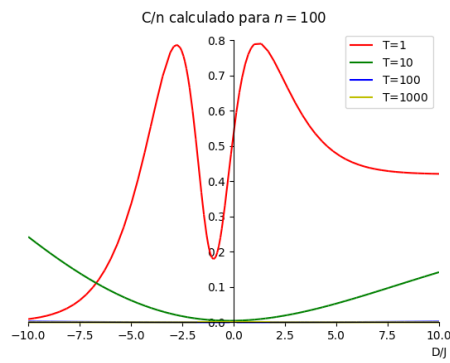
(b)



(c)

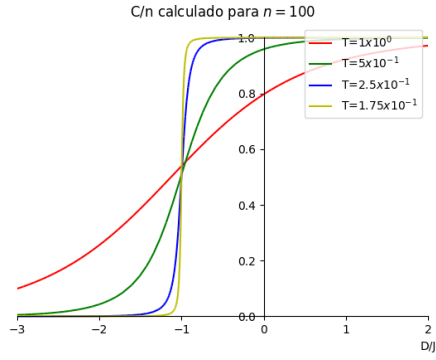


(d)

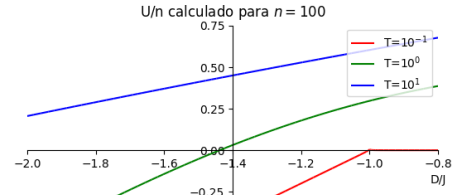


(e)

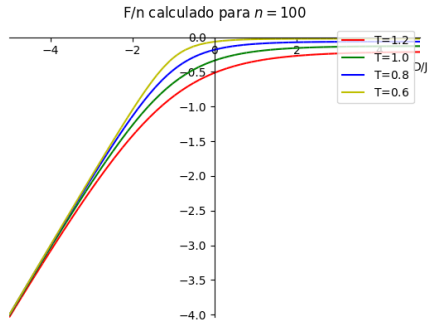
Figura 1.0.1: Comportamento assintótico dos potenciais para $T \rightarrow \infty$.



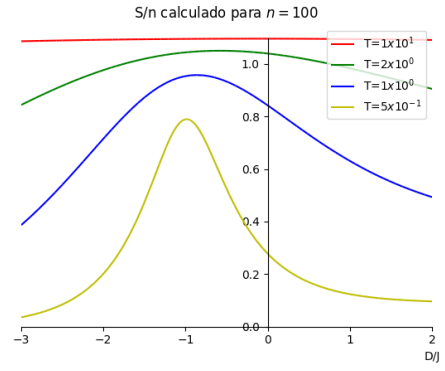
(a)



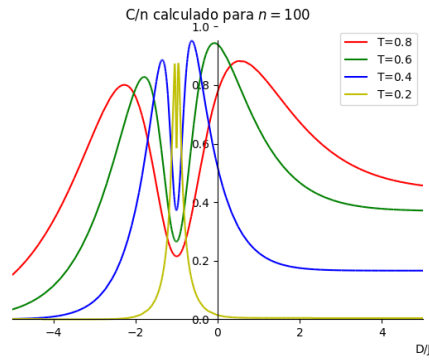
(b)



(c)



(d)



(e)

Figura 1.0.2: Comportamento assintótico dos potenciais para $T \rightarrow 0$.

2 P2

Para esse problema, teremos uma Hamiltoniana definida por:

$$H = \frac{1}{2}(p_1^2 + \omega_1^2 q_1^2) + \frac{1}{2}(p_2^2 + \omega_2^2 q_2^2) + \frac{g}{2}(q_1 - q_2)^2 \quad (26)$$

Essa pode ser escrita como:

$$H \frac{1}{2}p_1^2 + \frac{1}{2}p_2^2 + \sum_{i=1}^2 \sum_{j=1}^2 q_i A_{ij} q_j \quad (27)$$

Onde:

$$A = \begin{bmatrix} \frac{g}{2} + \frac{\omega_1^2}{2} & -\frac{g}{2} \\ -\frac{g}{2} & \frac{g}{2} + \frac{\omega_2^2}{2} \end{bmatrix} \quad (28)$$

Essa matriz pode ser diagonalizada para efeitos de desacoplamento, o que equivale a dizer que esse sistema é equivalente a dois osciladores desacoplados com frequências iguais aos autovalores de A . Esses autovalores serão:

$$\lambda_2 = \frac{g}{2} + \frac{\omega_1^2}{4} + \frac{\omega_2^2}{4} + \frac{\sqrt{4g^2 + \omega_1^4 - 2\omega_1^2\omega_2^2 + \omega_2^4}}{4} \quad (29a)$$

$$\lambda_1 = \frac{g}{2} + \frac{\omega_1^2}{4} + \frac{\omega_2^2}{4} - \frac{\sqrt{4g^2 + \omega_1^4 - 2\omega_1^2\omega_2^2 + \omega_2^4}}{4} \quad (29b)$$

Criando as definições:

$$\omega^2 = \omega_1^2 + \omega_2^2 \quad (30a)$$

$$\delta^2 = \omega_1^2 - \omega_2^2 \quad (30b)$$

Podemos reescrever os autovalores como:

$$\lambda_2 = \frac{g}{2} + \frac{\omega^2}{2} + \frac{\sqrt{\delta^4 + g^2}}{2} \quad (31a)$$

$$\lambda_1 = \frac{g}{2} + \frac{\omega^2}{2} - \frac{\sqrt{\delta^4 + g^2}}{2} \quad (31b)$$

Isso nos permite compreender as razões entre esses autovalores, já que temos sempre ambos positivos e $\lambda_1 > \lambda_2$. Podemos compreender o comportamento da razão em regimes extremos na Figura 2.0.1.

Estes levam ao comportamento dos potenciais que pode ser compreendido na Figura 2.0.2.

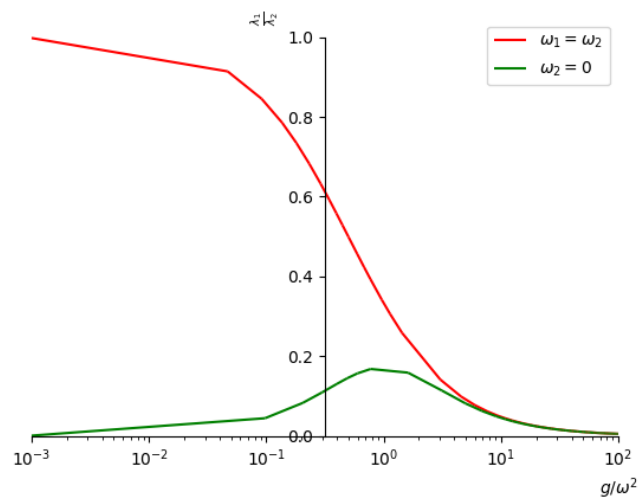
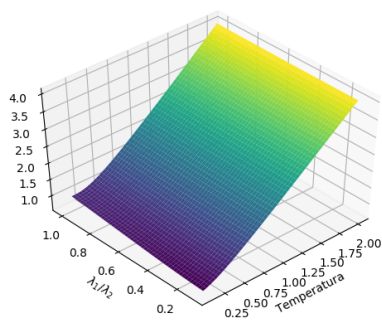
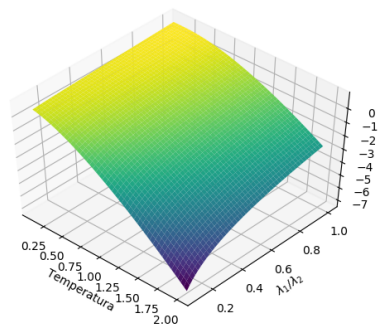


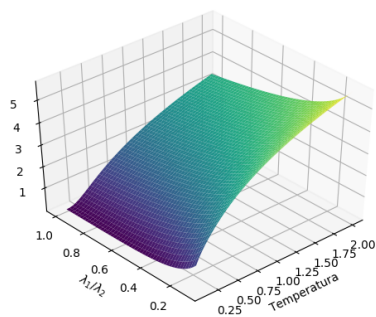
Figura 2.0.1: Razão entre autovalores para regimes extremos.



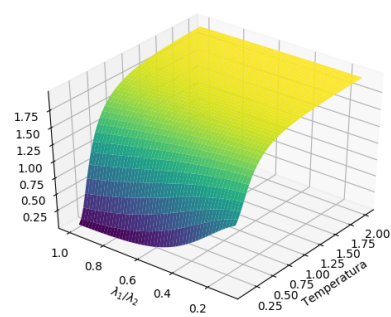
(a) Energia Interna



(b) Energia Livre



(c) Entropia



(d) Capacidade Térmica

Figura 2.0.2: Potenciais termodinâmicos